

1. まえがき

海洋構造物の型式には、着底式と浮遊式の2種類がある。

従来より構築された海の構造物の大部分が着底式であり、これらの実績よりえられた我々の工学的常識は、非常に豊富であると云える。

構造物を設置する水深が深くなれば、浮遊式構造物が着底式のものに較べて、施工性も経済性もより有利なものとなってくる。このため、海洋用や深海用の構造物として、浮遊式のものが多いに研究、開発され、そのあるものは既に実用に供せられている。しかし、浮遊式構造物には解決すべき問題として、1. 構造物の波などに対する動的応答、2. 大型化による波力、3. 係留方式とアンカーの把持力 などがある。

これらの問題は互いに係りあっているが、1, 2, の問題と3の係留方式については、近年盛んに研究が進められている。¹⁾しかし、アンカーの引抜き抵抗力とその発生機構に関しては、その研究も少なく未だ十分な解明がなされていない。著者はこの数年間、^{2), 3)}アンカーの引抜き抵抗力について実験的研究を行い、¹⁾つぎのような事項を明らかにすることが出来た。

- 1. アンカーの引抜き抵抗力は荷重速度の増加と共に増大する。
- 2. アンカーの最大引抜き抵抗力は、アンカーの沈設深さに比例して増大する。

3. アンカー形状としては、直方体または正方板が望ましい。球体アンカーの最大引抜き抵抗力は、直方体・正方板のそれより30%程度小さい。

以上は、主として静的引抜き実験の結果より認められた事柄である。繰返し引抜き荷重および動的引抜きによる実験結果より、以下の事が認められた。

- 4. 繰返し引抜き荷重と受けるアンカーで、球体アンカーの残留変位量は、直方体の場合に比べて大きい。
- 5. 動的引抜き荷重によるアンカーの引抜きは、アンカー周辺の底質の流動化が、大きく関係する。

本報は、アンカー下面に発生する吸引力 (suction force) の測定、アンカー引抜き抵抗力と動的引抜き力

の周期との関係など、アンカーの引抜き抵抗力の発生機構のモデル化を行うに必要とするデータを得ることを目的としたものである。

2. 実験装置と実験方法

実験は、写真-1に示されるような断面1m×1m、高さ2mの実験水槽を用いて行った。この実験水槽は、アンカー引抜き時の挙動を直接観察・記録するため、実験水槽の上部1mの部分は、4側壁をすべて透明プラスチック製とした。

使用した底質は豊浦標準砂で、その諸性質は表-1に示される。表中の内面摩擦角は、直接剪断試験による測定値、また固がり率は沈設深D=0~20cmにわたって、試料採取を行って得た平均値である。模

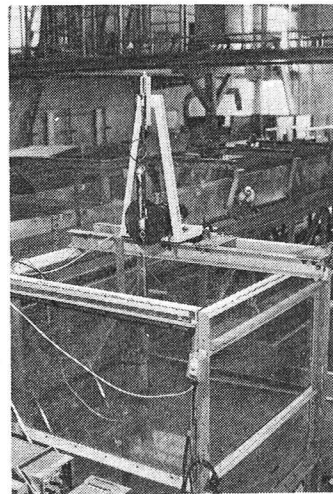


写真-1 実験装置

型アンカーは、107×107×8(mm)の正方板で、その空中重量は0.70kg、板中心には吸引力測定用の微圧計(200gr/cm²)取付け用の孔がけられている。

図-1は、動的引抜き試験装置図であ

る。動的引抜き荷重は、1/4HPの可変速モーター(M)と動力源とする回転板(直径25cm)と模型アンカー(A)とで引張り荷重索と結合し、図に示すように引張索にコイルバネ(S)と力計(L)とを挿入する。

表-1 実験に使用した底質の諸性質

平均粒径	比重	内面摩擦角	固がり率	見かけの単位重量
220μ	2.63	33°42'	39.1%	1.17g/cm ³

模型アンカーの変位は、ポテンシオメータ(P)によって検出する。

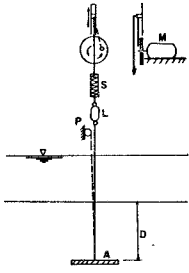


図-1 動的引抜き試験装置

3. 実験結果

図-2と3は、静的および動的引抜き試験の実験結果例である。図中では、引抜き荷重変化、アンカーの変位、板中心での吸引力変化を示してある。これらの図より、静的引抜き時には、アンカー下面

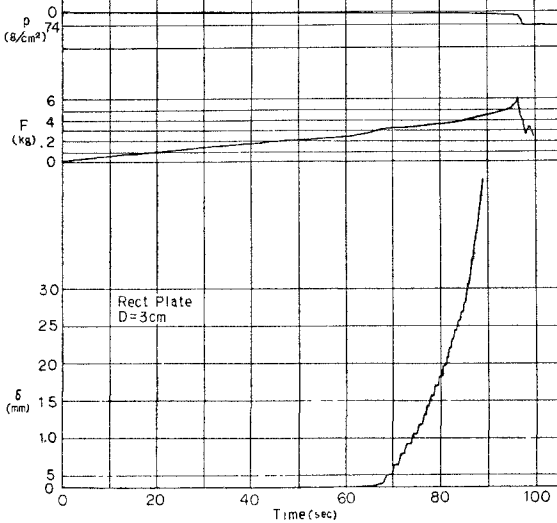


図-2 静的引抜き試験結果例

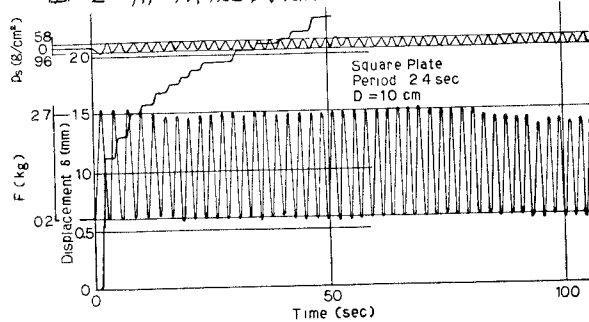


図-3 動的引抜き試験結果例

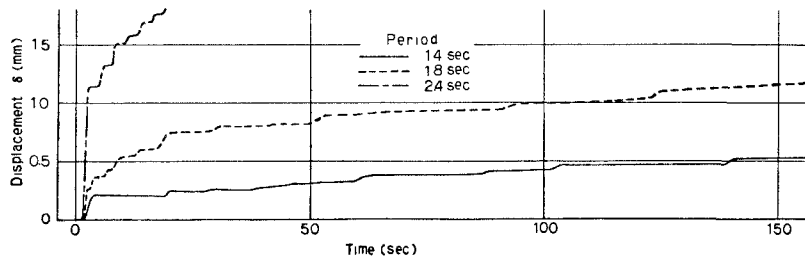
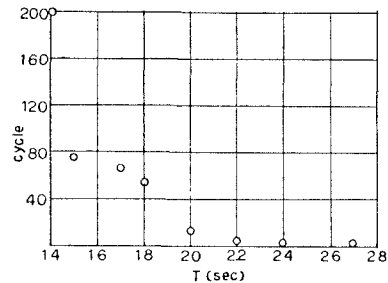


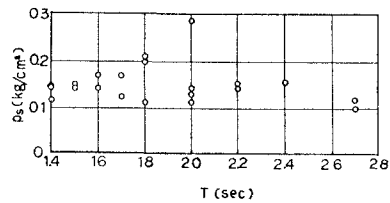
図-4 アンカーの変位挙動と変動荷重周期

での吸引力は殆んど発生しないが、動的引抜き時には、吸引力のアンカー引抜き抵抗カへの符号は、大きいことが認められる。アンカーの変位を見ると、静的引抜き時には、アンカー周辺の応復の流動化に起因すると考えられる変位挙動を示している。図-4は、荷重変動周期とアンカー変位挙動との関係を示す図である。この図より、荷重変動周期が短くなると、アンカーの変位挙動は段階的、しかも荷重変動位相とあまり関係のないものとなる。この様な変位挙動も、応復の流動化と係りあいがあると考えられる。図-5は、動的引抜き時の、アンカー中心における吸引力とアンカー引抜きまでの載荷回数、荷重変動周期によってどの様に変わるかを示したものである。荷重変動周期が短くなると、アンカー引抜きまでの載荷回数は、非常に多くなる。この様な場合でも、アンカー下面に発生する吸引力は、それほど大きくはなっていない。動的荷重 ($F = F_0 + \Delta F \sin \omega t$) は、 $F_0 = 1.45 \text{ kg}$ 、 $\Delta F = 1.25 \text{ kg}$ で実験を行った。 F_{max} は 2.7 kg で、これは静的引抜き時の、アンカーの最大引抜き抵抗カ



に一致している。

(a) 引抜きに要する荷重変動回数



(b) アンカー中心での吸引力

図-5

引用文献

- 1). 建設省土木研究所, 土木研究所資料, 第916号, 昭和49年3月.
- 2). 服部昌太郎, 第28回年講概説, III-115, 昭和48年10月.
- 3). 服部昌太郎, 土木学会第5回海洋開発シンポジウム, 昭和49年5月.